

두개의 레이저 헤드를 이용한 레이저 공진기에서의 안정조건과 빔질 요소(M^2) 분석

Charateristics of a laser resonator with double Nd:YAG rods

김현수, 차용호, 이성만, 고도경, 임권, 차병헌

한국원자력연구소 양자광학팀

kimhs@kaeri.re.kr

고품질 고풍출력 고체 레이저는 산업계와 학계에 많이 이용되기 때문에 많은 과학자들이 연구 개발 중이다^(1,2). 고품질, 고풍출력 레이저 제작의 가장 큰 저해 요소는 흡수된 펌프광이 비 복사 방출하면서 발생하는 열에 의한 렌즈 효과와 열 복굴절 효과이다. 열 렌즈는 공진기의 안정 조건을 변화시키며 열 복굴절 효과는 레이저 빔의 편광 왜곡과 이중 초점을 형성시켜 레이저 빔의 질을 저하시킨다.

편광 왜곡 보상과 이중 초점을 제거하기 위해 주로 사용되어지는 광소자는 Faraday 회전자, $\lambda/4$ 판, 석영 회전자 등이 사용되어진다.^(3,4) 두 개의 레이저 헤드를 이용하여 열 복굴절 보상하는 경우는 주로 90° 석영 회전자를 이용된다. 두 개의 레이저 헤드를 이용한 레이저는 고품질의 빔을 얻기 위해 두 레이저 헤드 사이에 형성된 빔 허리에 구경을 두어 고차 모드를 제거하는 방식을 주로 사용하기 때문에 두 헤드간의 거리는 빔의 특성과 안정 조건을 결정하는 중요한 변수가 된다. 본 연구에서는 대칭구조에서 두 헤드간의 거리와 펌프 파워의 변화에 따른 레이저의 안정 조건과 빔질 요소(M^2)를 조사하였다.

안정 조건과 빔질요소는 그림 1과 같은 레이저 구조에 대해 조사하였다. 레이저 로드의 직경은 $\phi 3$ mm 이라고 가정했다. 그리고 각 레이저 로드는 균일하게 펌핑된다고 가정했다. 레이저의 안정 조건을 구하기 위한 레이저 로드의 ABCD 광선 전달 행렬 ($M_{r,\phi}$)는 다음과 같다.

$$M_{r,\phi} = \begin{bmatrix} \cos \Gamma_{r,\phi} L & (n_0 \Gamma_{r,\phi})^{-1} \sin \Gamma_{r,\phi} L \\ -(n_0 \Gamma_{r,\phi}) \sin \Gamma_{r,\phi} L & \cos \Gamma_{r,\phi} L \end{bmatrix} \quad (1)$$

여기서, L 는 레이저 로드의 길이, $\Gamma_{r,\phi} \equiv (\Delta n_{r,\phi} / n_0)^{1/2}$ 이며 $\Delta n_{r,\phi}$ 는 다음과 같이 가정하고 로드의 끝면의 효과는 무시했다.

$$\Delta n_{r,\phi} = n_0 \frac{4\Delta T}{R^2} \left(\frac{1}{2n_0} \frac{dn}{dT} + n_0^2 \alpha C_{r,\phi} \right) \quad (2)$$

여기서, n_0 는 중심의 굴절률, dn/dT 는 굴절율의 온도 변화 계수, α 는 열 팽창계수, R 는 레이저 로드의 반경, $C_{r,\phi}$ 는 r 편광과 ϕ 편광에 대한 광탄성 효과를 나타내는 계수이다. ΔT 는 레이저 로드의 중심과 가장자리와의 온도차이며 레이저 로드의 열 렌즈 초점거리를 측정함으로써 구할 수 있다. 식 (1)을 이용하여 레이저 공진기의 총 ABCD 광선 전달 행렬을 구하여 레이저의 안정조건과 빔질 요소(M^2)를 구할 수 있다^(5,6). 그림 2는 열복굴절 보상하지 않을 때의 안정조건과 빔질 요소를 레이저 로드의 온도 변화에 따라 구한 것이다. 반면에 그림 3은 그림 2와 같은 조건에서 열 복굴절 보상을 했을 때, 레이저 안정 조건과 빔질 요소를 나타낸 것이다.

본 연구에서는 열 복굴절 보상하면 레이저의 빔 질은 전반적으로 좀 더 좋아짐을 이론적으로 보였

다. 또한 열 복굴절 보상 구조에서는 두 레이저가 레이저 거울에 가까이 위치할수록 빔질이 좋아짐을 보였다.

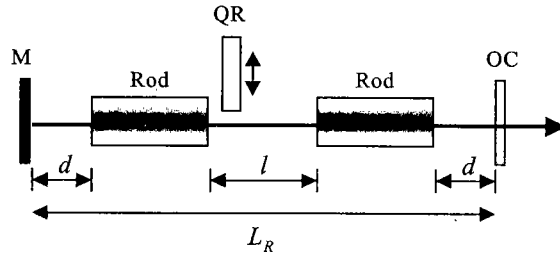


그림 1. 두 개의 레이저 헤드를 이용한 공진기

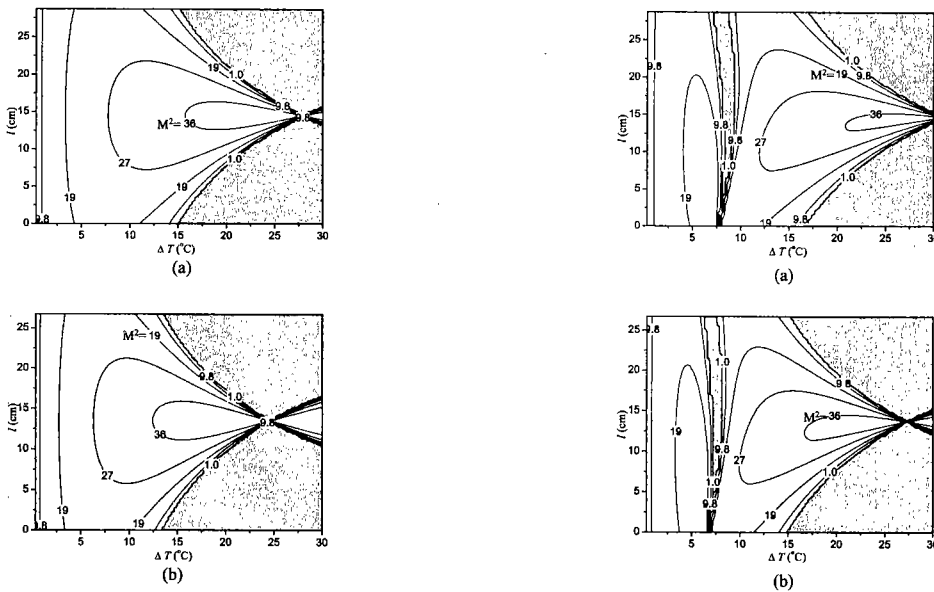


그림 2. 열 복굴절 보상하지 않을 때의 안정 조건과 빔질 요소. (a) $L_R=40$ cm, $L=5.5$ cm; (b) $L_R=40$ cm, $L=6.5$ cm

그림 3. 열 복굴절 보상을 했을 때의 안정 조건과 빔질 요소. (a) $L_R=40$ cm, $L=5.5$ cm; (b) $L_R=40$ cm, $L=6.5$ cm

참고문헌

1. S. Konno, T. Kijima, S. Fujikawa, and K. Yasui, Opt. Lett. 25 (2000) 105.
2. S. Konno, T. Kojima, S. Fujikawa, and K. Yasui, Opt. Lett. 25, 105-107 (2000).
3. Y. Hirano, Y. Koyata, S. Yamamoto, K. Kasahara, and T. Tajime, Opt. Lett. 24 (1999) 679
4. J. R. Park, J. Y. Lee, H. S. Kim, K. Y. Um, and H. J. Kong, Opt. Rev. 4 (1997) 170.
5. W. Koehner, Solid-state Laser Engineering, 4th ed., Springer-Verlag, Berlin, 1996.
6. R. Inffländer, H. P. Körtz, and H. Weber, Opt. Commun. 29 (1979) 223.

T D